

## طراحی سیستم تلمبه‌ی آب از چاه با کاربری انرژی باد

محمد رضا صفائیه (استاد)

محمد دانشورکاخکی (کارشناس)

دانشکده‌ی مهندسی صنایع، دانشگاه صنعتی شریف

انتقال آب از چاه برای مقاصد کشاورزی با روش‌های گوناگونی انجام می‌شود. در این پژوهش می‌کوشیم با تأمین آب مورد نیاز کشاورزی از چاه را با کاربری انرژی نهفته دروزش باد و طراحی پمپ تلمبه‌یی که هزینه‌ی مناسب و نیز بدون مصرف سایر انرژی‌های هزینه بر مورد بررسی قرار دهیم. بدین منظور یک پمپ تلمبه‌یی ساده‌ی آبی طراحی و در داخل آب چاه قرار دادیم، و نیز با وسائل مکانیکی مختلف حرکت دورانی پروانه را به حرکت رفت و برگشتی داخل تلمبه‌یی تبدیل کردیم. بدین ترتیب، آب بدون مصرف هرگونه انرژی هزینه بر به سطح زمین انتقال می‌یابد. در این رابطه، نحوه محاسبه و طراحی اجزاء سیستم و نقشه‌های مرتبط نیز ارائه شده است.

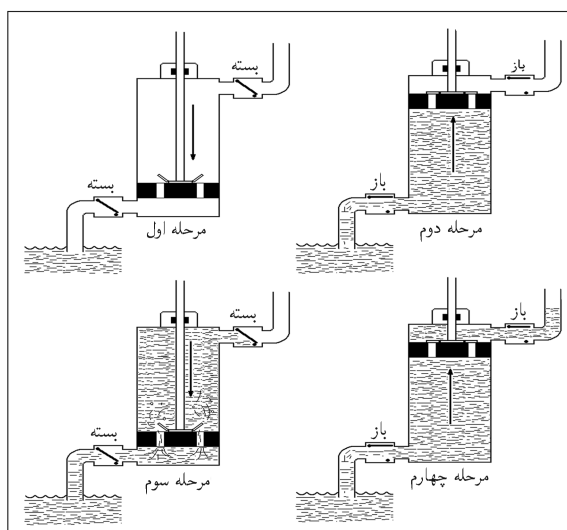
آب چاه این توان کاهش می‌یابد. جالب است بدانیم کاربرد اینگونه تلمبه‌ها، با اعمال نیروی دستی، چند دهه‌ی قبل در ایران برای انتقال آب از آب‌انبار به حوض منازل بسیار متداول بوده است.

محدودیت دیگر این‌گونه پمپ‌ها خالی شدن آب پمپ هنگام وقوع در کار پمپاژ و لزوم پرکردن مجدد به روش دستی است. با توجه به هزینه‌ی نسبتاً بالای پمپ‌های دورانی در مقایسه با پمپ‌های تلمبه‌یی<sup>[۱]</sup> در این پژوهش، هدف ما طراحی یک سیستم پمپاژ تلمبه‌یی بدون دو محدودیت فوق است. در این خصوص می‌کوشیم تا با طراحی یک تلمبه‌یی مناسب که همانند پمپ‌های دورانی در درون آب چاه قرار می‌گیرد توان مورد نیاز برای رفت و برگشت پیستون داخل سیلندر پمپ

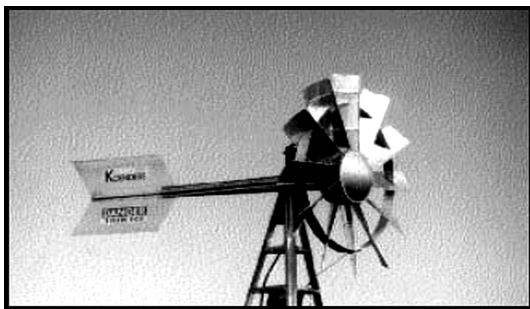
### مقدمه

در بخش کشاورزی، تأمین آب مورد نیاز کشت حیاتی است و نیز کاهش هزینه‌های ثابت و جاری آبیاری از اهمیت ویژه‌ی برخوردار است. یکی از روش‌های ارزان دستیابی به آب، کاربری انرژی رایگان نهفته در ورزش باد است. طراحی مناسب پمپ انتقال آب از چاه بر مبنای سادگی روش دریافت و تبدیل انرژی باد، موجب کاهش هزینه‌های ساخت سیستم می‌شود. به‌طور کلی کاربری دونوع پمپ مرسوم است. پمپ‌های دورانی<sup>۱</sup> و پمپ‌های رفت و برگشتی تلمبه‌یی<sup>۲</sup>. در هر دو روش، ابتدا انرژی وزشی باد توسط پروانه (روتور) به انرژی مکانیکی دورانی افقی تبدیل می‌شود. همچنین با استفاده از پمپ دورانی ابتدا حرکت دورانی افقی با گیربکس مناسب تبدیل به دوران عمودی می‌شود و با افزایش دور توسط گیربکس مجدداً به پمپ دورانی داخل چاه منتقل می‌شود. در روش رفت و برگشتی تلمبه‌یی، حرکت رفت و برگشت پروانه فقط با کاربرد مناسب میل لنگ ساده به حرکت رفت و برگشت عمودی تبدیل می‌شود. تلمبه‌های رفت و برگشتی سنتی را بالای چاه نصب می‌کنند و ابتدا با حرکت عمودی پیستون به طرف بالا و ایجاد خلاء، آب چاه به محفظه‌ی پمپ (سیلندر) کشیده می‌شود و سپس با برگشت پیستون به طرف پایین و مسدود شدن دریچه‌ی مکش، پمپ آب به طرف بالا انجام می‌شود.<sup>[۲]</sup> عملکرد رفت و برگشتی (تلمبه‌یی) پمپ با سیستم ایجاد خلاء در شکل ۱ مشخص شده است.

به علت نیاز به دستگاه تغییر جهت دور و افزایش سرعت دور گردشی، کاربرد پمپ دورانی در مقایسه با پمپ تلمبه‌یی از هزینه ساخت بالاتری برخوردار است. قابلیت پمپ رفت و برگشتی با ایجاد خلاء برای مکش آب از چاه حداقل ۱۰ متر است که با افزایش عمق



شکل ۱. عملکرد پمپ تلمبه‌یی سنتی.



شکل ۲. تصویر روتور.

### روتور و پره‌های مبدل انرژی باد

اصلی‌ترین قسمت روتور، پره‌های آن است که به یک توپی مرکزی متصل می‌شوند. پره‌ها مهم‌ترین بخش یک توربین‌باد و شکل آن‌ها بر کارایی توربین تأثیرگذار است. تعداد و وزن پره‌ها بر انعطاف‌پذیری و میزان قدرت سیستم تأثیرگذار است. پره‌های سبک باعث بهبود کارایی سیستم می‌شوند، و نیز باید به دو عامل استحکام و هزینه‌ی مواد اولیه و ساخت آن توجه داشت.<sup>[۸]</sup>

قدرت توربین بادی اساساً طبق رابطه‌ی ۱ محاسبه می‌شود:<sup>[۶]</sup>

$$P = \frac{1}{2} \rho C_p \eta_1 \eta_2 \frac{\pi}{4} R^2 V^3 \quad (1)$$

که در آن متغیرها عبارت‌اند از:

$\rho$  = چگالی هوای

$V$  = سرعت باد

$R$  = قطر پره

$C_p$  = ضریب عملکرد

$\eta_1$  = راندمان گیربکس

$\eta_2$  = راندمان سیستم مکانیکی یا ژنراتور.

یکی از معیارهای مهم انتخاب روتور «ضریب عملکرد» آن است. کارایی یک توربین بادی، یا ضریب عملکرد (ضریب نیرو) آن، طبق معیار بین‌برابر با  $0,59$  است. مناسب‌ترین توربین بادی  $0,25$  از انرژی بادی را به انرژی مکانیکی دورانی تبدیل می‌کند. ضریب عملکرد طبق رابطه‌ی ۲ محاسبه می‌شود:

$$C_p = \frac{P_a}{\eta_1 \eta_2 \cdot 0,5 \rho \pi R^2 V_r^3} = \frac{P_a}{P} \quad (2)$$

که در آن  $C_p$  با ضریب عملکرد مبدل بادی،  $\eta$  کارایی،  $\mu$  چگالی هوای  $R$  شعاع روتور،  $V_r$  سرعت باد،  $P_a$  قدرت واقعی دستگاه و  $P$  قدرت در دسترس است. بیشتر توربین‌های بادی فقط  $20^{\circ}$  تا  $40^{\circ}$  درصد از  $P$  را جذب می‌کنند. کارایی انرژی توربین بادی نیز بستگی به سرعت زاویه‌ی  $C_M$  دارد و طبق رابطه‌ی ۳ محاسبه می‌شود:<sup>[۶]</sup>

$$C_M = \frac{C_p}{\lambda} \quad (3)$$

را از طریق انرژی وزشی باد تأمین شود. ضمناً هنگام طراحی این پمپ، کاربرد قطعات ساده با حداقل هزینه مدنظر است.

### باد و عمق چاه

براساس اطلاعات جمع‌آوری شده از سازمان آب و سازمان هواشناسی کشور، و نیز با توجه به کمیته بودن عمق چاه و حداقل زمان وزش باد، مناطق سواحل شمال و جنوب کشور برای کاربری سیستم طراحی شده پیشنهاد می‌شود. در جدول ۱ میانگین و بیشینه‌ی سرعت وزش باد درج شده است.

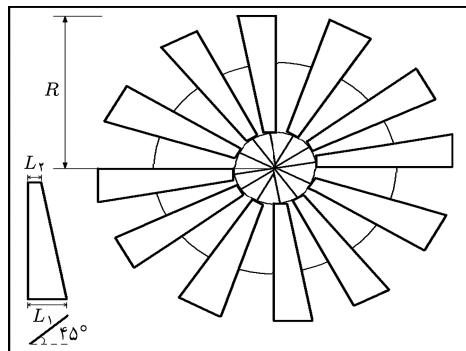
### مبدل انرژی باد

مبدل انرژی باد (توربین بادی) تشکیل شده است از:<sup>[۶-۴]</sup>

- روتور که طراحی آن براساس اصول آیرودینامیک انجام شده است، و اصلی‌ترین بخش آن پره‌ها هستند که در یک توپی مرکزی جاسازی می‌شوند.
- سیستم انتقال قدرت که از مجموعه اجزاء مکانیکی برای تبدیل حرکت دورانی به حرکت رفت و برگشتی مورد لزوم پیشتون پمپ تشکیل می‌شود.
- سازه‌ی برج پایه که نگاهدارنده‌ی روتور و تجهیزات انتقال قدرت در ارتفاع مناسب است برای بهره‌برداری از باد با سرعت مناسب است (شکل ۲).

جدول ۱. میانگین و بیشینه‌ی سرعت در سواحل شمال و جنوب.<sup>[۷]</sup>

شمال	میانگین سرعت (M/S)	بیشینه‌ی سرعت (M/S)
بابسر	۲,۵	۹۱
راصسر	۳,۱	۵۴
نوشهر	۳	۴۹
بندر انزلی	۳,۸	۵۸
بندر ماهشهر	۸,۵	۴۳
بندر دیر	۷,۱	۴۱
بوشهر	۸,۶	۵۸
میاناب	۲,۹	۴۹
بندر لنگه	۷,۲	۴۹
ابوموسی	۷,۱	۳۹
بندر عباس	۵,۶	۵۸
کیش	۷,۷	۴۹
سیزی	۷,۴	۴۳
چابهار	۵,۹	۴۰



شکل ۳. جانمایی پره‌ها در پروانه.

نیروهای وارد شده به روتور نیروی باد هنگام برخورد به پروانه دو مؤلفه: یکی در جهت باد و دیگری عمود بر جهت باد، ایجاد می‌کند. مؤلفه‌ی اول (نیروی فشاری) توسط پایه‌ی برج خشی می‌شود و مؤلفه‌ی دیگر (نیروی حرکت‌دهنده) باعث حرکت دورانی پروانه می‌شود. این دو مؤلفه‌ی نیرو طبق رابطه‌ی ۹ (برای نیروی فشاری)، و رابطه‌ی ۱۰ (برای نیروی حرکت‌دهنده) محاسبه می‌شود:<sup>[۶]</sup>

$$D = C_d \left(\frac{\rho}{\gamma}\right) A V^2 \quad (9)$$

$$L = C_p \left(\frac{\rho}{\gamma}\right) A V^2 \quad (10)$$

که در آن‌ها  $A$  سطح روتور،  $V$  سرعت باد،  $\rho$  چگالی هوای  $C_d$  و  $C_p$  به ترتیب ضرایب مربوط به  $L$  و  $D$  پره‌های مختلف است که براساس شکل پره و از روی جداول موجود تجربی تعیین می‌شوند.

براساس روابط ارائه شده می‌توان ابعاد پره‌ها را برای ایجاد توانهای مختلف به دست آورد. برای مثال در ادامه چگونگی انجام محاسبات برای تعیین قطر پروانه ارائه شده است.

### محاسبات قطر پروانه

در این خصوص پیش فرض‌های زیر لازم است:

- کورس پیستون: ۲۰ سانتی‌متر؛

- سرعت چرخش پروانه: ۴۵ دور در دقیقه؛

- بازدهی تجهیزات مکانیکی مبدل جریان هوای: ۸٪؛

- میانگین سرعت باد: ۶ متر بر ثانیه؛

- قطر سیلندر: ۱۰ سانتی‌متر.

حال به ازای دیهای مختلف آب و عمق‌های متفاوت چاه، می‌توان با استفاده از رابطه‌های ۱۰-۱۴ قطر پروانه را محاسبه کرد.<sup>[۶]</sup> برای خروج یک لیتر آب باید سطح آب داخل لوله‌ی انتقال آب (به قطر ۱۰

نسبت سرعت چرخش از طریق رابطه‌ی ۴ محاسبه می‌شود:

$$\lambda = \frac{\omega R}{V_r} \quad (4)$$

که در آن  $\lambda$  نسبت سرعت،  $\omega$  سرعت زاویه‌یی،  $R$  شعاع روتور و  $V_r$  سرعت باد است. میزان دسترسی به باد طبق معادله‌ی ۵ مشخص می‌شود.

$$ke_1 = \frac{V_r^2}{2} \quad (5)$$

میزان هوای که در واحد زمان از سطح روتور می‌گذرد نیز طبق رابطه‌ی ۶ محاسبه می‌شود:

$$\hat{m} = \rho A V_r = \rho R^2 V_r \quad (6)$$

بنابراین، بیشینه‌ی نیروی باد برابر است با:

$$P = \hat{m} k e_1 \quad (7)$$

پارامترهای موثر در طراحی روتور عبارت‌اند از:<sup>[۶]</sup>

- قطر روتور: براساس میزان نیروی مورد نیاز انتخاب می‌شود (جدول ۲).

- ضخامت پره‌ها: این پارامتر با استفاده از رابطه‌ی ۸ محاسبه می‌شود:

$$C = \frac{16\pi R(R/r)}{9\lambda^2 B} \quad (8)$$

که در آن  $C$  ضخامت پره،  $R$  شعاع روتور و  $r$  فاصله‌ی متوسط پره از مرکز دوران،  $\lambda$  سرعت گردش و  $B$  تعداد پره‌ها است.

- تعداد پره‌ها: براساس کارهای تجربی انجام شده و نیز آزمایش‌های تولن باد تعداد دوازده پره بهینه است.<sup>[۶] و [۸]</sup>

- شکل پره‌ها: این پارامتر بستگی دارد به میزان کارایی و هزینه‌ی ساخت پره‌ها، که در این پژوهش با توجه به هدف کاهش هزینه، شکل ذوزنقه انتخاب می‌شود (شکل ۳). برای دست‌یابی به بیشینه‌ی بازدهی و سطح جاروب، ابعاد پره انتخاب شده در شکل ۳ عبارت‌اند از:<sup>[۶]</sup>  
زاویه‌ی پره: ۴۵ درجه

$$L_1 = \frac{2\pi R}{Cos 45^\circ} = 2\sqrt{2}\pi R$$

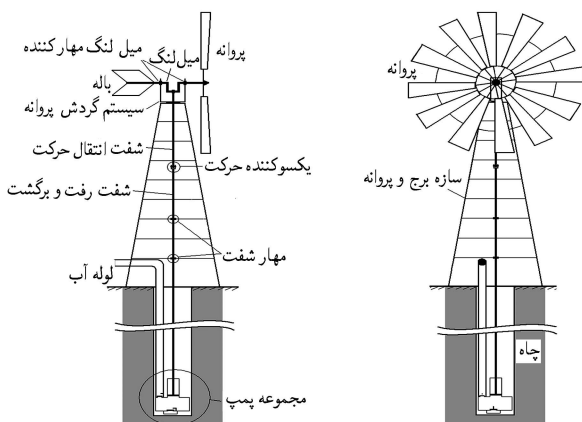
$$L_2 = \frac{2\pi R}{6Cos 45^\circ} = \frac{\sqrt{2}}{3}\pi R$$

جدول ۲. رابطه‌ی قطر روتور با توان توربین.

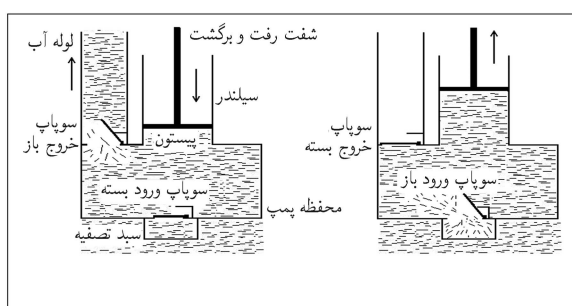
قطر روتور (متر)	۵	۴	۳	۲	۱	توان توربین (کیلو وات در ساعت)
۲۰۰۰-	۲۰۰۰-	۱۰۰۰-	۵۰۰-	۱۰۰-		
۳۰۰۰	۱۰۰۰	۵۰۰	۲۵۰	۵۰		

جدول ۳. رابطه‌ی آب‌دهی سیلندر با عمق چاه و قطر پروانه.

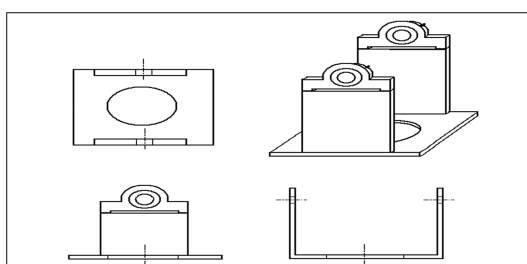
۵			۴			۳			۲			۱			آب‌دهی سیلندر (L/s)
۱۵	۱۰	۵	۱۵	۱۰	۵	۱۵	۱۰	۵	۱۵	۱۰	۵	۱۵	۱۰	۵	عمق چاه (m)
۳,۰۳	۳,۰۳	۳,۰۳	۲,۷۱	۲,۷۱	۲,۷۱	۲,۳۵	۲,۳۵	۲,۳۵	۱,۹۲	۱,۹۲	۱,۹۲	۱,۳۶	۱,۳۶	۱,۳۶	قطر پروانه



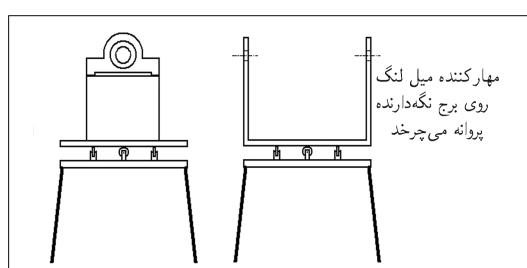
شکل ۴. نمودار کلی سیستم.



شکل ۵. مجموعه پمپ.



شکل ۶. مهارکننده میل لنگ.



شکل ۷. سیستم گردش مجموعه پروانه در جهت باد.

سانتی‌متر) به اندازه‌ی ۱۲,۷ سانتی‌متر بالا باید (رابطه‌ی ۱۲).

$$x = \frac{1000}{5 \times 5 \times \pi} = 12,7 \quad (11)$$

$$\begin{aligned} d &= \text{وزن آب جابه‌جاشده در هر ثانیه} \\ O &= 78,5 \times d \times O \quad (\text{کیلوگرم}) \end{aligned} \quad (12)$$

که در آن  $O$  برابر دبی آب (لیتر بر ثانیه) و  $d$  برابر عمق چاه (متر) است. براساس رابطه‌ی ۱۲ می‌توان مفید مورد نیاز در مبدل جریان هوا را محاسبه کرد (رابطه‌ی ۱۳).

$$\begin{aligned} P(w) &= \text{توان مفید مورد نیاز در مبدل جریان} \\ \frac{78,5 \times d \times O \times 127}{1} &= 9,9695 \times d \times O \end{aligned} \quad (13)$$

شعاع پروانه را می‌توان با استفاده از رابطه‌ی ۱۴ محاسبه کرد:

$$\begin{aligned} P(w) &= 0,6 \times C_p \times \eta \times A \times V_{rpm} = 0,6 \times \\ 0,4 \times 0,8 \times 3,14 \times R^2 \times 45 &= 27,13 R^2 \end{aligned} \quad (14)$$

معمولًا در ادبیات موضوع  $C_p$  برابر  $4,0$  در نظر گرفته می‌شود.<sup>[۶]</sup> بنابراین، شعاع تیپ پروانه براساس رابطه‌ی ۱۵ محاسبه می‌شود.

$$R = \sqrt{\frac{9,9695 \times d \times O}{27,13}} = 0,6062 \times \sqrt{d \times O} \quad (15)$$

جدول ۳ براساس رابطه به دست آمده تکمیل شده است. سیستم طراحی شده به تفکیک در شکل‌های ۴ الی ۹ ارائه شده که شامل چهار بخش: پروانه، پمپ، سازه‌ی نگهدارنده و تجهیزات انتقال حرکت است.

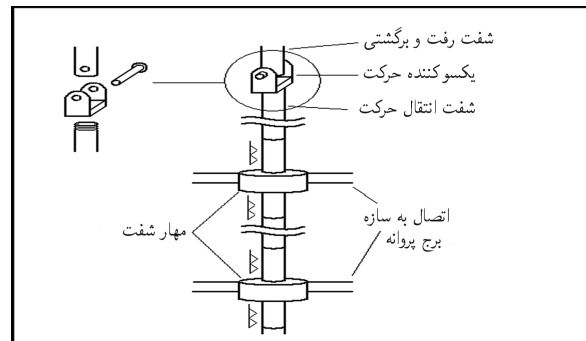
### استفاده از نرم‌افزار مناسب برای طراحی پروانه‌ها

نرم‌افزارهای مختلفی برای طراحی پروانه وجود دارند. برخی از این نرم‌افزارها را می‌توان برای طراحی مکانیکی و برخی دیگر را برای طراحی آزاد دینامیکی پروانه مورد استفاده قرارداد. در طراحی مکانیکی مواردی از قبیل جنس مواد مورد استفاده و مقاومت پروانه‌های طراحی شده در برابر

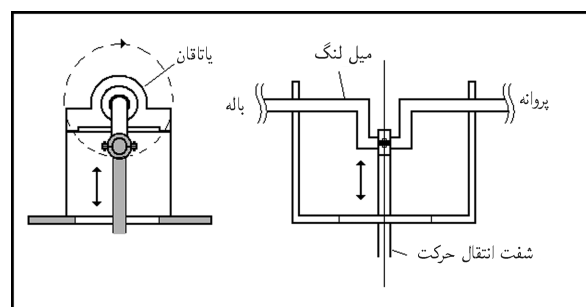
بازدهی پروانه مد نظر قرار می‌گیرد. تعدادی از نرم افزارهای مورد استفاده برای طراحی آزادینامیکی عبارت اند از: Flow-PAM-FLOWT, ACD, CFX-BladeGen, Cycom که همگی قابلیت شیوه‌سازی عملکرد پروانه مختلف تحت شرایط متفاوت را دارند.<sup>[۱۲-۱۰]</sup>

### نتیجه‌گیری

- با طراحی پمپ و سیستم ساده‌ی تبدیل حرکت دورانی به رفت و برگشتی، از انرژی رایگان نهفته در روش باد استفاده می‌شود.
- سیستم در سواحل شمال و جنوب کشور که به دلایل ژئوفیزیکی اکثراً بادخیز هستند، کاربری مناسبی دارد.
- در سواحل عمق منابع آب زیرزمینی کم است و سیستم کاربری مناسبی دارد.
- طراحی به صورت ساده انجام شده است، چنان که کاربران با دانش فنی مختصر بتوانند نسبت به ساخت آن اقدام کنند.
- سیستم بدون هزینه‌های معمول انرژی قابل استفاده، و نگهداری آن بسیار کم‌هزینه است.
- واحدهای صنعتی علاقه‌مند می‌توانند با توجه به مطالب و نقشه‌های ارائه شده نسبت به تولید انبوه سیستم اقدام کنند.
- هزینه‌ی ساخت پمپ تأمینی طراحی شده در مقایسه با پمپ‌های دورانی کمتر است.



شکل ۸. یکسوکننده‌ی حرکت.



شکل ۹. میل لنگ مهارکننده.

نیروهای مختلف واردہ بررسی می‌شود. یکی از نرم افزارهایی که می‌توان از آن برای طراحی مکانیکی استفاده کرد نرم افزار ANSIYS است. در طراحی آزادینامیکی نیز ابعاد و مقاطع پروانه برای بیشینه ساختن

### پانوشت

1. centrifugal
2. reciprocating

### منابع

1. <http://www.survivalunlimited.com/water-pumps.htm> (June 23, 2004).
2. Catalogue of Advanced Energy Group - Quality alternative energy equipment and complete support for your projects, URL: [www.poweriseverything.com](http://www.poweriseverything.com) (June 8, 2004).
3. How the hand or motor driven pump works.htm, Citation URL: simple\_water\_pump.html /product/ //www.poweriseverything.com http: (June 9, 2004).
4. Ozgener, O., A Review of Blade Structures of SWTSS in the Aegean Region and Performance

Analysis. *Renewable and Sustainable Energy Reviews*. **9**, pp. 85-99 (2005).

5. Ozgener, O. and Hepbasli, A. Current status and future directions of wind energy applications in Turkey. *Energy Source*. **24**, pp. 1117-29 (2002).
6. The Wind Turbine, Components and Operations, Bonus Energy Newsletter, (Atumn 1999). <http://www.weather.ir> سایت اینترنتی سازمان هواشناسی کشور (۱۳۸۳ آبان ۱۴۲۰) /farsi/index.asp
7. Ackermann, T. and Soder, L. An overview of wind energy-status, *Renewable and Sustainable Energy Reviews*. **6**, pp. 67-128 (2002).
8. Jischke, M. C., On The Aerodynamics of Windmill Blades. Proc. Okla. Acad. Sci. **56**, pp. 121-124 (1976).
9. Whitney, D. E., Liaison Scientist, Object-Oriented Cad And Expert Blade Design at Rolls-

- Royce. Propulsion Systems Engineering, Rolls-Royce plc, (2002).
11. [http://www.esi-group.com/SimulationSoftware/Aerodynamics\\_Aero\\_acoustics](http://www.esi-group.com/SimulationSoftware/Aerodynamics_Aero_acoustics) (Jan, 18th, 2005).
12. <http://club.cycom.co.uk/tutwind/turbine.html> (Jan, 18th, 2005).
13. [http://www.esi-group.com/SimulationSoftware/Aerodynamics\\_Aero\\_acoustics.html](http://www.esi-group.com/SimulationSoftware/Aerodynamics_Aero_acoustics.html) (Jan, 18th 2005).